

УДК 539.37+539.214

## РАЗВИТИЕ И ТОРМОЖЕНИЕ ВЯЗКОПЛАСТИЧЕСКОГО ТЕЧЕНИЯ В СЛОЕ ПРИ ЕГО НАГРЕВЕ ЗА СЧЕТ ТРЕНИЯ О ШЕРОХОВАТУЮ ПЛОСКОСТЬ

А. А. Буренин, Л. В. Ковтанюк\*, Г. Л. Панченко\*\*

Институт машиноведения и металлургии ДВО РАН,  
681005 Комсомольск-на-Амуре, Россия

\* Институт автоматики и процессов управления ДВО РАН,  
690041 Владивосток, Россия

\*\* Владивостокский государственный университет экономики и сервиса,  
690014 Владивосток, Россия

E-mails: burenin@iacp.dvo.ru, lk@iacp.dvo.ru, panchenko.21@yandex.ru

Приведено решение последовательности связанных задач термоупругопластичности, в которых исследуется возникновение и развитие течения в слое материала, находящегося в условиях чистого сдвига, и последующем его торможении при медленном снятии нагрузки. Однородность напряженного состояния слоя исключается за счет связанности теплофизических и деформационных процессов при наличии зависимости предела текучести от температуры. В качестве дополнительного источника тепла принимается его производство за счет трения материала слоя о шероховатую плоскость. Определены условия возникновения вязкопластического течения в деформируемом слое материала и закономерности движения по этому слою границ, разделяющих упругие и пластические области, рассчитываются скорости течения и большие необратимые и обратимые деформации. Показано, что обратимые деформации вызывают возникновение напряжений в области течения и упругодеформированном движущемся ядре.

Ключевые слова: упругость, пластичность, вязкость, теплопроводность, большие деформации.

DOI: 10.15372/PMTF20150410

**Введение.** Упругопластические задачи механики деформирования являются достаточно сложными [1, 2]. Как правило, в областях течения среды деформации нельзя полагать малыми, поэтому краевая задача ставится и решается в скоростях перемещений. В то же время в области обратимого деформирования следует решить краевую задачу для уравнений теории упругости в перемещениях. При этом необходимо обеспечить выполнение условия непрерывности перемещений на упругопластической границе, разделяющей области, в которых деформирование описывается разными системами уравнений. В противном случае будут получены ошибочные решения (см. [3]). Однако вычисление перемещений по найденному полю скоростей может оказаться сложной задачей [4], особенно

---

Работа выполнена при частичной финансовой поддержке Российского фонда фундаментальных исследований (код проекта 13-01-00283) и Министерства образования и науки РФ в рамках государственного задания вузам на выполнение научно-исследовательской работы (код проекта 2014/292).

© Буренин А. А., Ковтанюк Л. В., Панченко Г. Л., 2015

в случае накопления значительных необратимых деформаций, т. е. при использовании модели больших упругопластических деформаций. Несмотря на то что существует много работ, посвященных построению теории больших упругопластических деформаций [5–11], получено небольшое количество решений краевых задач такой теории [7, 12–17]. Решений задач, в которых учитывается связанность процессов деформирования и теплопередачи, еще меньше [18–20].

В данной работе рассматривается одномерная задача о чистом сдвиге слоя материала, обладающего упругими и пластическими свойствами, а также имеющего вязкие свойства при пластическом течении. Учитывается нагрев материала вследствие его трения о жесткую шероховатую плоскость.

**1. Постановка задачи. Исходные соотношения.** В качестве независимых переменных будем использовать пространственные переменные Эйлера  $x_i$ . Пусть слой материала  $0 \leq x_2 \leq h$  расположен на жесткой шероховатой плоскости  $x_2 = 0$ , другая его граничная плоскость нагружена:

$$\sigma_{12}|_{x_2=h} = \zeta t, \quad \sigma_{22}|_{x_2=h} = a_0.$$

Здесь  $\sigma_{12}$ ,  $\sigma_{22}$  — компоненты тензора напряжений Эйлера — Коши;  $t$  — время;  $\zeta$ ,  $a_0$  — задаваемые постоянные. Смещением границы несжимаемого слоя  $x_2 = h$  за счет теплового расширения пренебрегаем. Считаем, что в отсутствие перемещений на границе слоя  $x_2 = 0$  материал обратимо деформируется, до тех пор пока выполняется условие

$$x_2 = 0: \quad \sigma_{12} < f|\sigma_{22}|. \quad (1.1)$$

Здесь  $f$  — заданная постоянная сухого трения. Квазистатическое упругое деформирование происходит при условии  $a_0 < k_0 f^{-1}$  ( $k_0$  — предел текучести при комнатной температуре), иначе материал слоя перейдет в пластическое состояние до начала процесса проскальзывания, т. е. в момент времени  $t = t_* = a_0 f \zeta^{-1}$ . Для поля температур, формирующегося при нагреве материала за счет трения скольжения, принимаем условия

$$\theta = \frac{T}{T_0} - 1 = \theta(x_2, t), \quad \theta(x_2, t_*) = 0, \quad \theta(0, t) = \gamma u(0, t) = \gamma \varphi(t), \quad \left. \frac{\partial \theta}{\partial x_2} \right|_{x_2=h} = 0, \quad (1.2)$$

где  $T_0$ ,  $T$  — комнатная и текущая абсолютная температура;  $u(0, t) = \varphi(t)$  — перемещение на границе слоя;  $\gamma$  — постоянная производства тепла за счет трения. Нагружаемую границу слоя полагаем теплоизолированной. Предполагается, что функция  $\varphi(t)$  является монотонно возрастающей. Дальнейшее нагружение и повышение температуры в слое приводят к возникновению вязкопластического течения материала в окрестности подложки, что обуславливает большие деформации материала в области течения.

В качестве математической модели деформирования выберем построенную в [18] модель больших термоупругопластических деформаций. В прямоугольной системе пространственных переменных Эйлера  $x_i$  геометрически непротиворечивая кинематика больших деформаций среды задается уравнениями изменения (переноса) для компонент  $p_{ij}$  тензоров необратимых деформаций и компонент  $m_{ij}$  обратимых деформаций [18]

$$\begin{aligned} \frac{Dp_{ij}}{Dt} &= \varepsilon_{ij}^p - p_{ik}\varepsilon_{kj}^p - \varepsilon_{ik}^p p_{kj}, \\ \frac{Dm_{ij}}{Dt} &= \varepsilon_{ij} - \varepsilon_{ij}^p - \frac{1}{2} \left( (\varepsilon_{ik} - \varepsilon_{ik}^p + z_{ik})m_{kj} + m_{ik}(\varepsilon_{kj} - \varepsilon_{kj}^p - z_{kj}) \right), \\ \varepsilon_{ij} &= \frac{1}{2}(v_{i,j} + v_{j,i}), \quad v_i = \frac{du_i}{dt} = \frac{\partial u_i}{\partial t} + u_{i,j}v_j, \quad u_{i,j} = \frac{\partial u_i}{\partial x_j}, \\ m_{ij} &= e_{ij} + \alpha(T - T_0)\delta_{ij}, \quad r_{ij} = \frac{1}{2}(v_{i,j} - v_{j,i}) + z_{ij}(\varepsilon_{sk}, m_{sk}), \end{aligned} \quad (1.3)$$

$$\frac{Dn_{ij}}{Dt} = \frac{dn_{ij}}{dt} - r_{ik}n_{kj} + n_{ik}r_{kj},$$

$$d_{ij} = m_{ij} + p_{ij} - m_{ik}m_{kj}/2 - m_{ik}p_{kj} - p_{ik}m_{kj} + m_{ik}p_{km}m_{mj}.$$

Компоненты тензоров  $p_{ij}$  и  $m_{ij}$  являются необратимой и обратимой составляющими тензора полных деформаций Альманси  $d_{ij}$ . Такое разделение задается последним равенством (1.3), являющимся следствием первых двух. Заметим, что при отсутствии источника ( $\varepsilon_{ij}^p = 0$ ) компоненты тензора необратимых деформаций  $p_{ij}$  меняются так же, как при жестком вращении тела. При этом выполняется требование, аналогичное требованию в теории малых деформаций: при термоупругом деформировании и разгрузке необратимые деформации постоянны. Для того чтобы данное требование было выполнено, необходимо использовать соответствующую объективную производную  $D/Dt$ , записанную в (1.3) для компоненты  $n_{ij}$  произвольного тензора. Выражение для нелинейной составляющей тензора поворота  $r_{ij} = -r_{ji}$  в данной работе не приводится вследствие его громоздкости, соответствующее выражение в явном виде приведено, например, в [10]. Величины  $u_i, v_i$  в (1.3) — компоненты перемещений и скоростей точек среды;  $\alpha$  — коэффициент линейного расширения.

В случае изотермического деформирования ( $\theta \equiv 0$ ) имеем  $m_{ij} = e_{ij}$ , поэтому тензор с компонентами  $e_{ij} - 0,5e_{ik}e_{kj}$  следует называть тензором упругих деформаций. Введение линейных составляющих  $e_{ij}$  и  $m_{ij}$  тензоров упругих и термоупругих деформаций позволяет записать аналог известной в нелинейной теории упругости [21] формулы Мурнагана. Эта формула принимает простую форму в предположении, что плотность распределения свободной энергии  $\psi$  зависит (как и в классических моделях типа модели Прандтля — Рейса) только от обратимых деформаций:  $W = \rho_0\psi(T, m_{ij}) = W(\theta, m_{ij})$ , где  $\rho_0$  — плотность материала в недеформированном состоянии. Запишем аналог формулы Мурнагана [18] в предположении, что изменение объема среды определяется только ее тепловым расширением, а механически она несжимаема. Тогда

$$\sigma_{ij} = \begin{cases} -p\delta_{ij} + (1 + 3\alpha T_0\theta)^{-1} \frac{\partial W}{\partial d_{ik}} (\delta_{kj} - 2d_{kj}), & p_{ij} \equiv 0, \\ -p_1\delta_{ij} + (1 + 3\alpha T_0\theta)^{-1} \frac{\partial W}{\partial m_{ik}} (\delta_{kj} - m_{kj}), & p_{ij} \neq 0. \end{cases} \quad (1.4)$$

Здесь  $\sigma_{ij}$  — компоненты тензора напряжений;  $p, p_1$  — неизвестные функции добавочного гидростатического давления. Упругий потенциал раскладывается в ряд Маклорена относительно свободного состояния при температуре  $T_0$ . Принимая условие изотропии, имеем  $W = -2\mu J_1 - \mu J_2 + bJ_1^2 + (b - \mu)J_1J_2 - \chi J_1^3 + \nu_1 J_1\theta + \nu_2\theta^2 - \nu_3 J_1\theta^2 - \nu_4 J_1^2\theta - \nu_5 J_2\theta - \nu_6\theta^3 + \dots$ ,

$$J_k = \begin{cases} L_k, & p_{ij} = 0, \\ I_k, & p_{ij} \neq 0, \end{cases} \quad (1.5)$$

$$L_1 = d_{kk}, \quad L_2 = d_{ik}d_{ki}, \quad I_1 = c_{kk}, \quad I_2 = c_{ik}c_{ki}, \quad c_{ij} = m_{ij} - 0,5m_{ik}m_{kj}.$$

Здесь  $\mu$  — модуль сдвига;  $b, \chi, \nu_m$  ( $m = 1, 2, \dots, 6$ ) — тепломеханические постоянные [21]. Из закона сохранения энергии наряду с формулами Мурнагана (1.4) следует уравнение баланса энтропии

$$\rho T \frac{dS}{dt} + q_{j,j} = D,$$

где  $S = -(\rho_0 T_0)^{-1} \partial W / \partial \theta$ ;  $q_j$  — компоненты вектора теплового потока. В областях обратимого деформирования и разгрузки источник энтропии отсутствует, а в областях течения

определяется величиной  $\sigma_{ij}\varepsilon_{ij}^p$ . Принимая закон теплопроводности в форме закона Фурье, из уравнения баланса энтропии получаем уравнение теплопроводности, которое в различных областях имеет следующий вид:

— в области обратимого деформирования

$$(1 + \beta_1\theta + \beta_2d_{jj}) \frac{d\theta}{dt} + \beta_3\varepsilon_{ij}d_{ji} = q \frac{\partial^2\theta}{\partial x_j \partial x_j},$$

$$\beta_1 = \frac{\nu_2(1 - 3\alpha T_0) - 3\nu_6}{\nu_2}, \quad \beta_2 = -\frac{\nu_3}{\nu_2}, \quad \beta_3 = -\frac{\nu_1 + \nu_5}{\nu_2};$$
(1.6)

— в области течения

$$(1 + \beta_1\theta + \beta_2c_{jj}) \frac{d\theta}{dt} + \beta_3(\varepsilon_{ij} - \varepsilon_{ij}^p)c_{ji} = q \frac{\partial^2\theta}{\partial x_j \partial x_j} - \frac{1}{2\nu_2} \sigma_{ij}\varepsilon_{ij}^p;$$
(1.7)

— в области разгрузки

$$(1 + \beta_1\theta + \beta_2c_{jj}) \frac{d\theta}{dt} + \beta_3\varepsilon_{ij}c_{ji} = q \frac{\partial^2\theta}{\partial x_j \partial x_j}.$$

Здесь  $q$  — температуропроводность. Скорости необратимых деформаций связаны с напряжениями ассоциированным законом пластического течения [22]

$$\varepsilon_{ij}^p = \delta \frac{\partial F}{\partial \sigma_{ij}}, \quad F(\sigma_{ij}, \varepsilon_{ij}^p) = k, \quad \delta > 0.$$
(1.8)

В качестве поверхности нагружения  $F$  будем использовать обобщение [23] условия текучести Треска

$$\max |\sigma_i - \sigma_j| = 2k + 2\eta \max |\varepsilon_k^p|.$$
(1.9)

В (1.8), (1.9)  $k$ ,  $\eta$  — предел текучести и вязкость материала при пластическом течении соответственно;  $\sigma_i$ ,  $\varepsilon_j^p$  — главные значения тензоров напряжений и скоростей необратимых деформаций.

**2. Движение до начала течения.** С увеличением времени напряжение  $\sigma_{12}$  в слое растёт. Очевидно, что рассматриваемая задача является одномерной. Среди компонент перемещений и скорости только  $u_1 = u(x_2, t)$ ,  $v_1 = v(x_2, t)$  отличны от нуля. При этом с учетом (1.1)  $u(0, t) = 0$ . Решение такой задачи является тривиальным и имеет вид

$$u = \mu^{-1}\zeta x_2 t, \quad d_{12} = 0,5u_{,2}, \quad d_{22} = -0,5u_{,2}^2,$$

$$\sigma_{22} = \sigma_{33} = a_0, \quad \sigma_{11} = a_0 + \mu^{-1}\zeta^2 t^2, \quad \sigma_{12} = \zeta t.$$

Данное квазистатическое состояние равновесия сохраняется до момента времени  $t = t_*$ , затем начинается проскальзывание и вследствие трения происходит нагрев материала слоя. Следовательно, при  $t > t_*$  получаем связанную задачу термоупругости с уравнением теплопроводности (1.6), условиями (1.2) и граничным условием (1.1) в форме

$$(\sigma_{12} - f|\sigma_{22}| - \xi v)|_{x_2=0} = 0,$$
(2.1)

где  $\xi$  — коэффициент вязкого трения. С учетом уравнений равновесия (квазистатическое приближение) и определяющих зависимостей (1.4), (1.5) имеем

$$\sigma_{33} = -(p + 2\mu) - \frac{1}{2}(b + \mu)u_{,2}^2 + (\nu_1 + 6\mu\alpha T_0)\theta - (\nu_3 + 3\alpha\nu_1 T_0 + 18\mu(\alpha T_0)^2)\theta^2 = -s_1,$$

$$\sigma_{11} = -s_1 + \mu u_{,2}^2, \quad \sigma_{22} = -s_1 + l\theta u_{,2}^2, \quad \sigma_{12} = \lambda u_{,2},$$
(2.2)

$$u_{,2} = \zeta \lambda^{-1} t, \quad m_{12} = \frac{1}{2} \zeta \lambda^{-1} t, \quad m_{11} = \frac{1}{2} m_{12}^2, \quad m_{22} = -\frac{3}{2} m_{12}^2, \\ l = \nu_1 + \nu_5 + 3\alpha\mu T_0, \quad \lambda = \mu - l\theta.$$

С использованием (1.2), (2.1) запишем краевые условия для искомых функций

$$u|_{x_2=0} = u_0 = \frac{1}{2} \zeta \xi^{-1} (t^2 - t_*^2) - f \xi^{-1} a_0 (t - t_*), \\ \theta|_{x_2=0} = \gamma u_0, \quad \frac{\partial \theta}{\partial x_2} \Big|_{x_2=h} = 0. \tag{2.3}$$

Учитывая кинематику течения ( $d\theta/dt = \partial\theta/\partial t$ ) и соотношения (2.2), уравнение теплопроводности (1.6) запишем в форме

$$\varkappa_1 g_1(s) + \varkappa_2 g_2(\tilde{\zeta}, s) + \varkappa_3 s \nu_2^{-1} g_3(s, \tilde{x}) = 0, \\ g_1(s) = (1 + \beta_1 \theta + \beta_3 l \lambda^{-3} s^2) \frac{\partial \theta}{\partial t} - q \frac{\partial^2 \theta}{\partial x_2^2}, \quad g_2(\tilde{\zeta}, s) = \beta_3 \tilde{\zeta} \lambda^{-2} s, \\ g_3(s, \tilde{x}) = \eta^{-1} (s - k_0 (1 - \theta^2(\tilde{x}, t) \theta_{\text{пл}}^{-2})). \tag{2.4}$$

В рассматриваемом случае уравнение (2.4) справедливо при  $\varkappa_1 = \varkappa_2 = 1, \varkappa_3 = 0, s = \zeta t, \tilde{\zeta} = \zeta, \tilde{x} = x_2$ . Из решения уравнения теплопроводности (2.4) с учетом начальных и граничных условий определяется температура  $\theta(x_2, t)$ . Затем по формулам (2.2) вычисляется напряженно-деформированное состояние в слое. Полученное решение используется далее в качестве начального условия. Это решение справедливо до момента времени  $t = t_1$ , в который возникает пластическое течение. Момент и область возникновения течения определяются по полученному решению задачи (2.2)–(2.4) из условия (1.9), которое в данном случае сводится к условию

$$\sigma_{12} = k(t_1), \quad k = k_0 (1 - \theta^2 \theta_{\text{пл}}^{-2}), \tag{2.5}$$

где  $k_0$  — предел текучести при комнатной температуре;  $\theta_{\text{пл}}$  — температура плавления материала. Из (2.2), (2.5) следует, что пластическое течение возникает на плоскости  $x_2 = 0$  в момент времени  $t_1$ , вычисляемый по формуле

$$t_1 = \zeta^{-1} k_0 (1 - \theta^2(0, t_1) \theta_{\text{пл}}^{-2}).$$

**3. Вязкопластическое течение.** Начиная с момента времени  $t = t_1$  от граничной плоскости  $x_2 = 0$  распространяется область вязкопластического течения с движущейся границей  $x_2 = r(t)$ . В области  $r(t) \leq x_2 \leq h$  материал продолжает деформироваться обратимо и напряжения в нем задаются зависимостями (2.2). В области течения прежде всего необходимо решить уравнение теплопроводности (1.7), из которого следует исключить параметры, определяющие напряженно-деформированные состояния.

Согласно определяющим уравнениям (1.4), (1.5) обратимые деформации задают напряжения и в области течения:

$$\sigma_{33} = -(p + 2\mu) - 2(b + \mu) m_{12}^2 + (\nu_1 + 6\mu\alpha T_0)\theta - (\nu_3 + 3\alpha\nu_1 T_0 + 18\mu(\alpha T_0)^2)\theta^2 = -s_2(t), \\ \sigma_{11} = -s_2(t) + 4\mu m_{12}^2, \quad \sigma_{22} = -s_2(t) + 4l\theta m_{12}^2, \quad \sigma_{12} = 2\lambda m_{12}. \tag{3.1}$$

Однако в соответствии с уравнениями равновесия  $\sigma_{12} = \zeta t, \sigma_{22} = a_0$ . Это позволяет с учетом краевых условий на плоскости  $x_2 = 0$  и упругопластической границе  $x_2 = r(t)$  (равенство напряжений  $\sigma_{22}$  и  $\sigma_{12}$ ) получить зависимости напряжений и деформаций от относительной температуры  $\theta = \theta(x)$  в каждый момент времени  $t > t_1$ . В области течения уравнение (1.7) записывается в форме (2.4), где  $\varkappa_1 = \varkappa_2 = \varkappa_3 = 1; s = \zeta t; \tilde{\zeta} = \zeta; \tilde{x} = x_2$ .

Как и выше, краевым условием для уравнения (2.4) является условие  $\theta(0, t) = \gamma u(0, t)$ , а температура и тепловой поток на движущейся границе области  $x_2 = r(t)$  полагаются непрерывными. В области обратимого деформирования  $r(t) \leq x_2 \leq h$  распределение температуры удовлетворяет уравнению теплопроводности (2.4) при  $\varkappa_1 = \varkappa_2 = 1$ ,  $\varkappa_3 = 0$ ,  $s = \zeta t$ ,  $\tilde{\zeta} = \zeta$ ,  $\tilde{x} = x_2$  при указанных выше условиях на движущейся упругопластической границе в отсутствие потока тепла на границе слоя  $x_2 = h$ . Для решения задач теплопроводности с условиями, заданными на движущейся границе, использовалась конечно-разностная схема первого порядка по времени и второго — по пространству [24]. Положение упругопластической границы определялось равенством нулю скоростей пластических деформаций на ней. Поскольку в рассматриваемом случае условие течения (1.9) принимает вид  $\sigma_{12} - \eta \varepsilon_{12}^p = k$ , положение упругопластической границы  $x_2 = r(t)$  определяется по формуле

$$\varepsilon_{12}^p = g_3(s, \tilde{x}) = 0, \quad \tilde{x} = r(t). \quad (3.2)$$

Найденное распределение температуры  $\theta(x)$  в любой текущий момент времени  $t > t_1$  позволяет не только указать положение упругопластической границы (3.2), но и задать кинематику течения, соответствующую (1.3). Действительно, согласно (1.3) в одномерном случае получаем соотношения

$$\begin{aligned} d_{11} &= m_{11} + p_{11} - \frac{1}{2} m_{12}^2 - 2m_{12}p_{12}, & d_{22} &= m_{22} + p_{22} - \frac{1}{2} m_{12}^2 - 2m_{12}p_{12}, \\ d_{12} &= m_{12} + p_{12}, & \frac{dd_{12}}{dt} &= \frac{\partial d_{12}}{\partial t} = \frac{1}{2} v', \\ r_{21} = -r_{12} &= \frac{1}{2} v', & \varepsilon_{12} &= \frac{1}{2} v' = \varepsilon_{12}^e + \varepsilon_{12}^p = \frac{\partial m_{12}}{\partial t} + \frac{\partial p_{12}}{\partial t}, \\ \varepsilon_{11}^p &= \frac{dp_{11}}{dt} + 2p_{12}(r_{12} + \varepsilon_{12}^p), & \varepsilon_{22}^p &= \frac{dp_{22}}{dt} + 2p_{12}(r_{12} + \varepsilon_{12}^p), \\ \varepsilon_{11}^p &= -\varepsilon_{22}^p = -2\varepsilon_{12}^p m_{12}. \end{aligned} \quad (3.3)$$

По известным скоростям пластических деформаций с использованием начального условия  $p_{ij}(t_1) = 0$  определяются компоненты необратимых деформаций  $p_{12}$ ,  $p_{11}$ ,  $p_{22}$ , после чего с помощью (3.1) получаем дифференциальное уравнение для перемещения в области течения

$$\frac{\partial u}{\partial x_2} = s\lambda^{-1} + 2p_{12}, \quad s = \zeta t. \quad (3.4)$$

В области обратимого деформирования справедливо то же уравнение, если положить в нем  $p_{12} = 0$ . Функция интегрирования определяется из условия равенства перемещений на упругопластической границе.

Граничное условие (1.2) на нижней границе слоя  $x_2 = 0$  справедливо до момента времени, в который температура на плоскости  $x_2 = 0$  становится равной температуре плавления. Этот момент времени определяется зависимостью

$$t_{\text{пл}} = fa_0\zeta^{-1} + \zeta^{-1}(f^2a_0^2 + \zeta t_*(\zeta t_* - 2fa_0) + 2\xi\zeta\gamma^{-1}\theta_{\text{пл}})^{1/2}.$$

**4. Течение при постоянном напряжении.** Предположим, что начиная с момента времени  $t = t_2 < t_{\text{пл}}$  напряжение  $\sigma_{12}$  не изменяется:

$$\sigma_{12}|_{x_2=h} = \zeta t_2.$$

В этом случае появляется новая упругопластическая граница  $x_2 = r_1(t)$ , движущаяся от плоскости  $r(t_2)$  к плоскости  $x_2 = 0$ . Таким образом, область деформирования разбивается

на три области: область вязкопластического течения  $0 \leq x_2 \leq r_1(t)$ , область  $r_1(t) \leq x_2 \leq r(t_2)$ , в которой компонента необратимых деформаций  $p_{12}$  не изменяется, и область обратимого деформирования  $r(t_2) \leq x_2 \leq h$ .

Как и выше, компоненты напряжений во всей области деформирования вычисляются по соотношениям  $\sigma_{12} = \zeta t_2$ ,  $\sigma_{22} = a_0$ .

В области течения  $0 \leq x_2 \leq r_1(t)$  справедливы уравнение теплопроводности (2.4) при  $\varkappa_1 = \varkappa_3 = 1$ ,  $\varkappa_2 = 0$ ,  $s = \zeta t_2$ ,  $\tilde{\zeta} = \zeta$ ,  $\tilde{x} = x_2$  и уравнение для определения положения упругопластической границы  $x_2 = r_1(t)$  (3.2) при  $s = \zeta t_2$ ,  $\tilde{x} = r_1(t)$ . В областях  $r_1(t) \leq x_2 \leq r(t_2)$  и  $r(t_2) \leq x_2 \leq h$  уравнение (2.4) выполняется при  $\varkappa_1 = 1$ ,  $\varkappa_2 = \varkappa_3 = 0$ ,  $s = \zeta t_2$ . Для решения указанной системы уравнений используются краевые условия (1.2), условия непрерывности  $\theta$  и  $\partial\theta/\partial x_2$  на границах  $r_1(t)$  и  $r(t_2)$  и условие непрерывности  $\theta$  при  $t = t_2$ . Компоненты необратимых и обратимых деформаций определяются из кинематических зависимостей (3.3), перемещения — из уравнения (3.4), где  $s = \zeta t_2$ , при этом используются условия непрерывности перемещений на границах  $r_1(t)$ ,  $r(t_2)$  и краевое условие

$$u|_{x_2=0} = 0,5\zeta\xi^{-1}(2t_2t - t_2^2 - t_*^2) - fa_0\xi^{-1}(t - t_*),$$

следующее из (1.2), (2.1), (2.3).

При  $t = t_3$  область течения начинает увеличиваться, т. е. граничная плоскость  $r_1(t)$  движется по направлению к плоскости  $r(t_2)$  и в момент времени  $t = t'$  эти две плоскости совпадают. Таким образом, начиная с момента времени  $t = t'$  в слое остаются две области: развивающаяся область течения  $0 \leq x_2 \leq r_1(t)$  и упругая область  $r_1(t) \leq x_2 \leq h$ , в которых выполняются соотношения, приведенные в данном пункте. При постоянном напряжении  $\sigma_{12} = \zeta t_2$  температура на нижней границе слоя  $x_2 = 0$  становится равной температуре плавления в момент времени

$$t_{\text{пл}} < t'_{\text{пл}} = \frac{2\theta_{\text{пл}} + \gamma\zeta(t_2^2 + t_*^2) - 2\gamma fa_0 t_*}{2\gamma(\zeta t_2 - fa_0)}.$$

**5. Течение при уменьшающемся напряжении и разгрузка.** Пусть начиная с момента времени  $t = t_4$  ( $t_2 < t_4 < t'_{\text{пл}}$ ) выполняется условие

$$\sigma_{12}|_{x_2=h} = \zeta t_2 - \zeta_1(t - t_4), \quad \zeta_1 > 0.$$

Тогда во всем слое  $\sigma_{12} = \zeta t_2 - \zeta_1(t - t_4)$ ,  $\sigma_{22} = a_0$ . Изменение краевого условия приводит к появлению новой упругопластической границы  $x_2 = r_2(t)$ , движущейся от плоскости  $r_1(t_4)$  к плоскости  $x_2 = 0$ . Область деформирования также разбивается на три области: область течения  $0 \leq x_2 \leq r_2(t)$ , область  $r_2(t) \leq x_2 \leq r_1(t_4)$ , в которой  $p_{12}$  не изменяется, и область обратимого деформирования  $r_1(t_4) \leq x_2 \leq h$ . В последних двух областях уравнение теплопроводности (2.4) справедливо при  $\varkappa_1 = \varkappa_2 = 1$ ,  $\varkappa_3 = 0$ ,  $\tilde{x} = x_2$ . В области течения в уравнении (2.4)  $\varkappa_1 = \varkappa_2 = \varkappa_3 = 1$ ,  $\tilde{\zeta} = \zeta_1$ ,  $\tilde{x} = x_2$ , в уравнении (3.2)  $\tilde{x} = r_2(t)$ . Полученная система уравнений решается при краевых условиях, приведенных в п. 4. Во всех перечисленных уравнениях и уравнениях обратимых деформаций и перемещений  $s = \zeta t_2 - \zeta_1(t - t_4)$  и

$$u|_{x_2=0} = t\xi^{-1}(\zeta_1 t_2 + \zeta_2 t_4 - fa_0) - 0,5\xi^{-1}(\zeta_2 t^2 + \zeta_2 t_4^2 + \zeta_1 t_2^2 + \zeta_1 t_*^2) + fa_0\xi^{-1}t_*.$$

В момент времени  $t = t_5$  область течения вновь начинает увеличиваться, граница  $r_2(t)$  движется к границе  $r_1(t_4)$ , в момент времени  $t = t''$  они совпадают и в слое остаются две области: область течения  $0 \leq x_2 \leq r_2(t)$  и область обратимого деформирования  $r_2(t) \leq x_2 \leq h$ . В момент времени  $t = t''_{\text{пл}}$  температура на нижней границе слоя становится равной

температуре плавления. Начиная с этого момента времени

$$t''_{\text{пл}} = \zeta^{-1}(\zeta t_2 + \zeta_1 t_4 - f a_0) + \zeta_1^{-1} \gamma^{-1} \sqrt{D_1},$$

$$D_1 = \gamma^2(\zeta t_2 + \zeta_1 t_4 - f a_0)^2 - \gamma^2 \zeta_1 (\zeta_1 t_4^2 + \zeta t_2^2 + \zeta t_*^2) + 2\gamma^2 f a_0 t_* - 2\gamma \zeta_1 \xi \theta_{\text{пл}}$$

краевое условие (1.2) заменяется на условие

$$\theta|_{x_2=0} = \theta_{\text{пл}}. \quad (5.1)$$

Граница  $x_2 = r_2(t)$  движется от плоскости  $x_2 = 0$ , начиная с момента времени  $t = t_6$  от плоскости  $r_2(t_6)$  к плоскости  $x_2 = 0$  движется граница  $x_2 = r_3(t)$ , отделяющая область течения  $0 \leq x_2 \leq r_3(t)$  от области  $r_3(t) \leq x_2 \leq r_2(t_6)$ , где  $p_{12}$  не изменяется. В момент времени  $t_{\text{пр}} = t_4 + (\zeta t_2 - f a_0) \zeta_1^{-1}$  напряжение в слое становится равным  $\sigma_{12} = f a_0$  и на нижней границе слоя выполняется условие прилипания

$$u|_{x_2=0} = t_{\text{пр}} \xi^{-1} (\zeta t_2 + \zeta_1 t_4 - f a_0) - 0,5 \xi^{-1} (\zeta_1 t_{\text{пр}}^2 + \zeta_1 t_4^2 + \zeta t_2^2 + \zeta t_*^2) + f a_0 \xi^{-1} t_*. \quad (5.2)$$

При уменьшении напряжения материал начинает остывать. Краевое условие для температуры (5.1) заменяется условием

$$\theta|_{x_2=0} = \theta_{\text{пл}} (1 - \gamma_1 (t - t_{\text{пр}})), \quad (5.3)$$

где  $\gamma_1$  — задаваемая постоянная.

Согласно (3.2), (5.3) в момент времени  $t = t_7 > t_{\text{пр}}$ , который можно вычислить из уравнения

$$\zeta t_2 - \zeta_1 (t_7 - t_4) = k_0 (1 - (1 - \gamma_1 (t_7 - t_{\text{пр}}))^2 \xi^{-2}),$$

граница  $x_2 = r_3(t)$  достигает нижней границы слоя, т. е.  $r_3(t_7) = 0$ .

Начиная с момента времени  $t = t_7$  в слое остается две области: область обратимого деформирования  $r_2(t_6) < x_2 \leq h$  и область с накопленными пластическими деформациями  $0 \leq x_2 \leq r_2(t_6)$ . В момент времени  $t_k = t_4 + \zeta \zeta_1^{-1} t_2$  компонента тензора напряжений  $\sigma_{12}$  становится равной нулю. Следовательно, разгрузка материала обусловлена уменьшением компоненты  $\sigma_{22}$  до нуля.

Уравнение теплопроводности во всем слое  $0 \leq x_2 \leq h$  принимает вид

$$g_1(0) = 0.$$

Условие (5.2) заменяется условием

$$u|_{x_2=0} = t_{\text{пр}} \xi^{-1} (\zeta t_2 + \zeta_1 t_4) - 0,5 \xi^{-1} (\zeta_1 t_{\text{пр}}^2 + \zeta_1 t_4^2 + \zeta t_2^2 + \zeta t_*^2). \quad (5.4)$$

В области с накопленными необратимыми деформациями перемещение определяется из дифференциального уравнения (3.4) при  $s = 0$  и условия (5.4), а в области обратимого деформирования — по формуле

$$u = t_{\text{пр}} \xi^{-1} (\zeta t_2 + \zeta_1 t_4) - 0,5 \xi^{-1} (\zeta_1 t_{\text{пр}}^2 + \zeta_1 t_4^2 + \zeta t_2^2 + \zeta t_*^2). \quad (5.5)$$

**6. Охлаждение.** В момент времени  $t_{\text{охл}} = t_{\text{пр}} + \gamma_1^{-1}$  на нижней границе слоя температура становится равной нулю, но в слое она еще отлична от нуля. Дальнейшее понижение температуры обусловлено наличием заданного потока тепла на верхней границе слоя

$$\frac{\partial \theta}{\partial x_2} \Big|_{x_2=h} = \gamma_2 t$$

( $\gamma_2$  — известная постоянная величина). Перемещение в области с накопленными необратимыми деформациями также определяется из уравнения (5.5) и условия (5.4), а в области обратимого деформирования вычисляется по формуле (5.6). В конечный момент времени



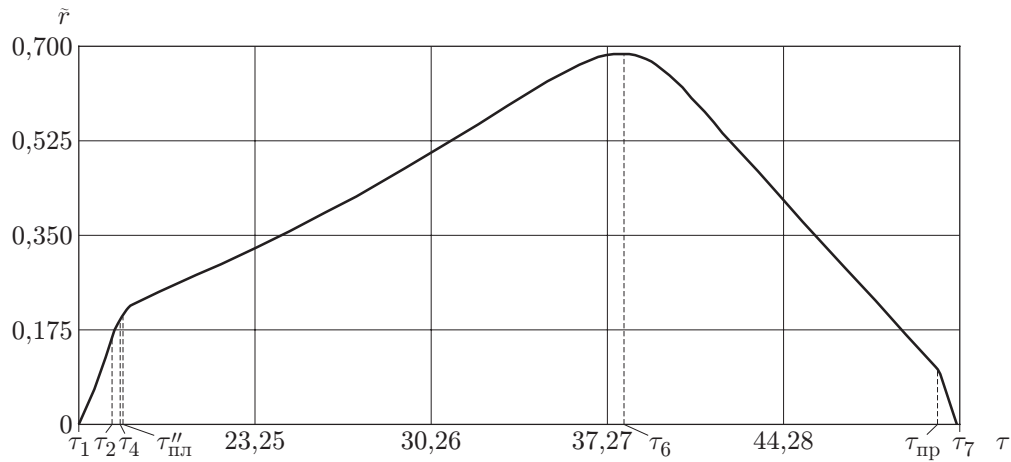


Рис. 1. Зависимость координаты границы области вязкопластического течения от времени

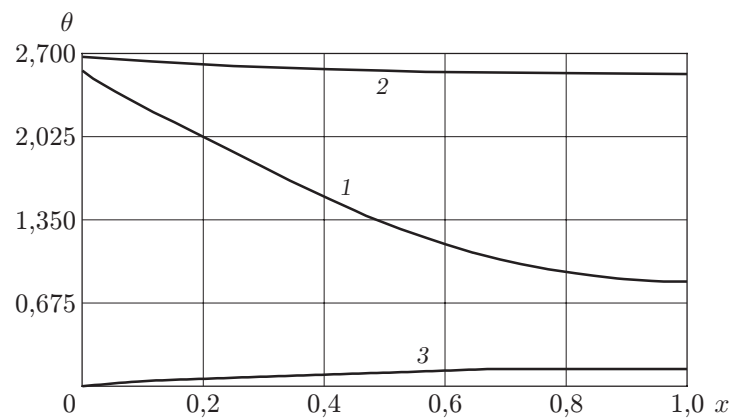


Рис. 2. Распределение безразмерной температуры в различные моменты времени:

$$1 - \tau_2 = \zeta t_2 f^{-1} a_0^{-1}, \quad 2 - \tau_7 = \zeta t_7 f^{-1} a_0^{-1}, \quad 3 - \tau_{охл} = \zeta t_{охл} f^{-1} a_0^{-1}$$

$t = t_8$ , который определяется в результате численных расчетов, температура слоя становится равной комнатной температуре.

Проведение расчетов затруднено тем, что большинство термомеханических постоянных принимаемой модели неизвестно. В качестве примера получено решение задачи при следующих значениях параметров, соответствующих алюминию:  $f a_0 \mu^{-1} = 5 \cdot 10^{-5}$ ,  $\zeta h^2 \mu^{-1} q^{-1} = 7,733 \cdot 10^{-4}$ ,  $\gamma h = 20$ ,  $\xi \zeta h \mu^{-2} = 2,67984 \cdot 10^{-6}$ ,  $\eta \zeta \mu^{-2} = 3,34979 \cdot 10^{-7}$ ,  $\nu_2 \mu^{-1} = 0,02$ ,  $\beta_1 = 0,5$ ,  $\beta_3 = -0,5$ ,  $k_0 \mu^{-1} = 2,29796 \cdot 10^{-3}$ ,  $\theta_{пл} = 2,68261$ ,  $l \mu^{-1} = 0,01$ . В качестве безразмерного времени будем использовать переменную  $\tau = \zeta t f^{-1} a_0^{-1}$ . На рис. 1 показано изменение координаты упругопластической границы  $\tilde{r} = r h^{-1}$  в интервале времени от  $\tau_1 = \zeta t_1 f^{-1} a_0^{-1} = 16,24$  до  $\tau_7 = \zeta t_7 f^{-1} a_0^{-1} = 51,29$ . На рис. 2 приведено характерное распределение безразмерной температуры  $\theta(x)$  в слое (по оси абсцисс отложена безразмерная координата  $x = x_2 h^{-1}$ ) в различные моменты времени. На рис. 3 представлено распределение перемещений  $\tilde{u} = u h^{-1}$  в различные моменты времени.

**Заключение.** Постановка и решение приведенной в работе задачи могут быть использованы для развития теории больших деформаций сплошных сред, при моделировании процесса высокоскоростной обработки материалов (высокоскоростная штамповка, во-

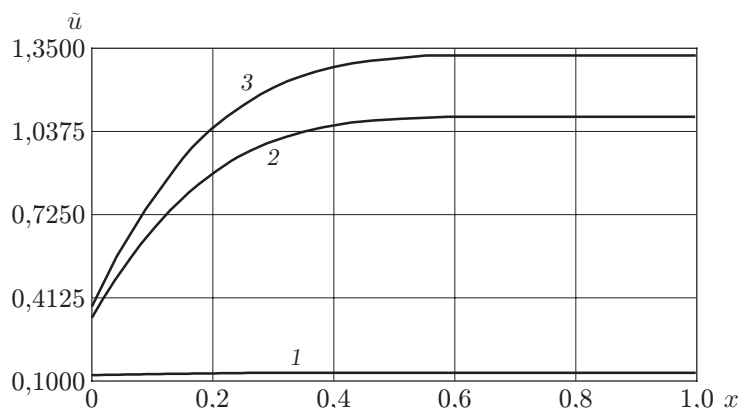


Рис. 3. Распределение перемещений в различные моменты времени:  
 1 —  $\tau_2 = \zeta t_2 f^{-1} a_0^{-1}$ , 2 —  $\tau_6 = \zeta t_6 f^{-1} a_0^{-1}$ , 3 —  $\tau_8 = \zeta t_8 f^{-1} a_0^{-1}$

лочение, пробивание отверстий и др.), а также при тестировании алгоритмов и программ расчетов в связанных задачах теории.

#### ЛИТЕРАТУРА

1. Галин Л. А. Уругоупластические задачи. М.: Наука, 1984.
2. Аннин Б. Д. Уругоупластическая задача / Б. Д. Аннин, Г. П. Черепанов. Новосибирск: Наука. Сиб. отд-ние, 1983.
3. Ивлев Д. Д. Три дискуссии по механике // Вестн. Самар. гос. ун-та. 2007. № 4. С. 115–123.
4. Ивлев Д. Д. Об определении перемещений в уругоупластических задачах теории идеальной пластичности // Успехи механики деформируемых сред: К 100-летию со дня рожд. акад. Б. Г. Галеркина. М.: Наука, 1975. С. 236–240.
5. Lee E. H. Elastic-plastic deformation at finite strains // Trans. ASME. J. Appl. Mech. 1969. V. 36, N 1. P. 1–6.
6. Кондауров В. И. Об уравнениях уругоупластической среды с конечными деформациями // ПМТФ. 1982. № 4. С. 133–139.
7. Левитас В. И. Большие уругоупластические деформации материалов при высоком давлении. Киев: Наук. думка, 1987.
8. Быковцев Г. И., Шитиков А. В. Конечные деформации уругоупластических сред // Докл. АН СССР. 1990. Т. 311, № 1. С. 59–62.
9. Мясников В. П. Уравнения движения уругоупластических материалов при больших деформациях // Вестн. ДВО РАН. 1996. № 4. С. 8–13.
10. Буренин А. А., Быковцев Г. И., Ковтанюк Л. В. Об одной простой модели для уругоупластической среды при конечных деформациях // Докл. АН. 1996. Т. 347, № 2. С. 199–201.
11. Роговой А. А. Определяющие соотношения для конечных уругоупластических деформаций // ПМТФ. 2005. Т. 46, № 5. С. 138–149.
12. Ковтанюк Л. В. О продавливании уругоупластического материала через жесткую круговую цилиндрическую матрицу // Докл. АН. 2005. Т. 400, № 6. С. 764–767.
13. Буренин А. А., Ковтанюк Л. В., Мазелис А. Л. Продавливание уругоупластического материала между жесткими коаксиальными цилиндрическими поверхностями // Прикл. математика и механика. 2006. Т. 70, вып. 3. С. 481–489.

14. **Буренин А. А., Ковтанюк Л. В., Устинова А. С.** Об учете упругих свойств неньютоновского материала при его вискозиметрическом течении // ПМТФ. 2008. Т. 49, № 2. С. 143–151.
15. **Буренин А. А., Устинова А. С.** Развитие и торможение винтового вязкопластического течения с расчетом упругого отклика после остановки течения и разгрузки // Успехи механики сплошных сред: К 70-летию акад. В. А. Левина. Владивосток: Дальнаука, 2009. С. 91–102.
16. **Буренин А. А., Ковтанюк Л. В., Лушпей А. В.** Переходный процесс торможения прямолинейного вязкопластического течения при мгновенном снятии нагружающих усилий // Прикл. математика и механика. 2009. Т. 73, вып. 3. С. 494–500.
17. **Панченко Г. Л.** О прямолинейном течении в упруговязкопластическом цилиндрическом слое в условиях одностороннего прилипания // Вычисл. механика сплошных сред. 2011. Т. 4, № 4. С. 86–96.
18. **Ковтанюк Л. В.** Моделирование больших деформаций в неизотермическом случае // Дальневост. мат. журн. 2004. Т. 5, № 1. С. 107–117.
19. **Burenin A. A., Kovtanyuk L. V., Panchenko G. L.** Modeling of large elastoviscoplastic deformations with thermophysical effects taken into account // Mech. Solids. 2010. V. 45, iss. 4. P. 583–594.
20. **Ковтанюк Л. В., Панченко Г. Л.** Неизотермическое деформирование упруговязкопластического плоского тяжелого слоя // Сиб. журн. индустр. математики. 2013. Т. 16, № 1. С. 56–65.
21. **Лурье А. И.** Нелинейная теория упругости. М.: Наука, 1980.
22. **Быковцев Г. И.** Теория пластичности / Г. И. Быковцев, Д. Д. Ивлев. Владивосток: Дальнаука, 1998.
23. **Быковцев Г. И., Семькина Т. Д.** О вязкопластическом течении круглых пластин и оболочек вращения // Изв. АН СССР. Механика и машиностроение. 1964. № 4. С. 68–76.
24. **Самарский А. А.** Теория разностных схем. 3-е изд., испр. М.: Наука, 1989.

*Поступила в редакцию 22/I 2014 г.,  
в окончательном варианте — 8/IV 2014 г.*

---